

惑星地球科学2 (第3回目)

海洋+炭素循環と物質循環

東京大学総合文化研究科：
小宮 剛 准教授

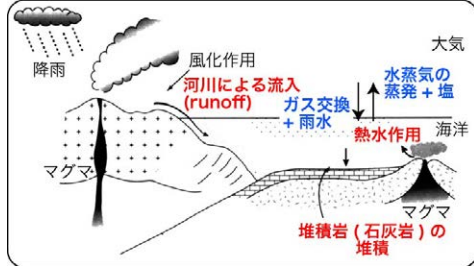
2017/10/18

komiya@ea.c.u-tokyo.ac.jp
http://www43.tok2.com/home/isua/

水循環



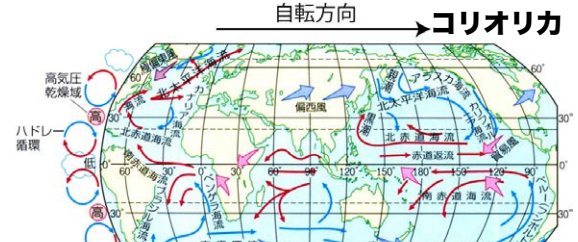
(1) 海洋: 海洋への物質の流入・流出



- (1) 大陸地殻(河川による)の流入(浸食・風化・運搬)
- (2) 中央海嶺における熱水変質作用
- (3) 堆積物(石灰岩・泥岩・チャート・Mnノジュール)の堆積
- (4) 大気とのガス交換や雨水による流入。蒸発

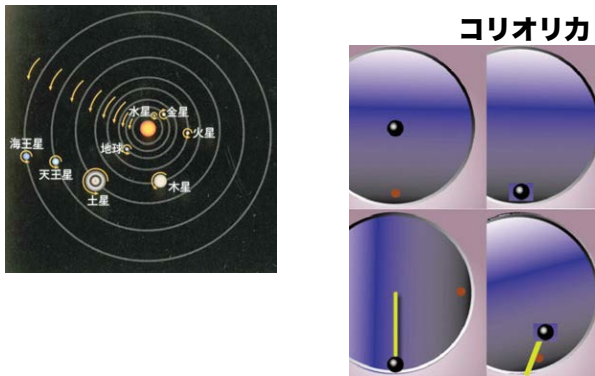
海洋の循環(2つのタイプがある)

②-1 海洋表面での循環(海流, 風成循環: 深さ1000m位まで)

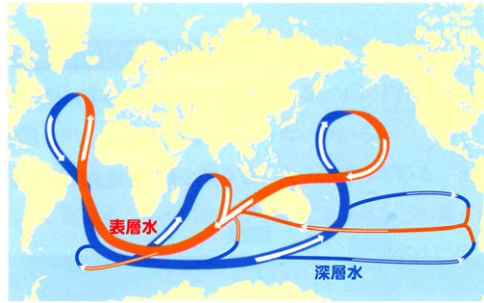


赤道地域:
 ハドレー循環~表面では北から南への流れ+自転→貿易風
 中緯度地域~逆に南から北への流れ+自転→偏西風
 →風+暖かい海水が極域へ移動する→海流

海洋の循環(2つのタイプがある)

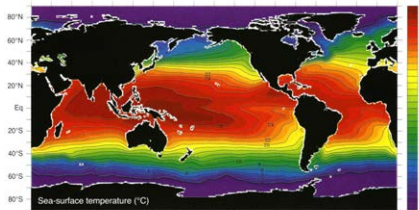


②-2 海洋大循環(熱塩循環、Broeckerのベルトコンベアーモデル)

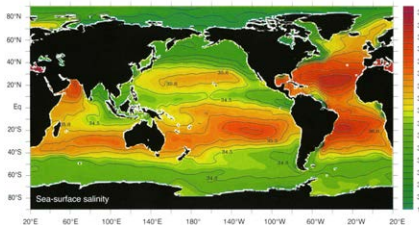


① Stommel(1961)によって提唱され、Broeckerによって海水の年代を¹⁴Cを用いて測ることによって実証された。
 →最も古い年代は北太平洋深層水で約2000年(数千年規模で循環)

②-2A 海洋表面の温度分布



②-2B 海洋表面での塩分濃度分布



②-3A 海洋大循環(熱塩循環)の駆動力(密度による循環)

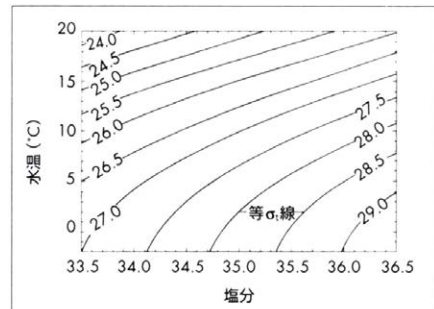


図 2.14 水温 (T), 塩分 (S), 密度の関係を示す T-S 図

σ_t は (密度-1) × 1000
 海水密度は温度と塩分濃度によってコントロール

③-1 湧昇域

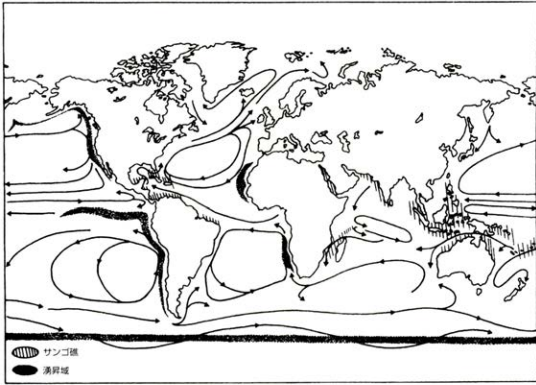
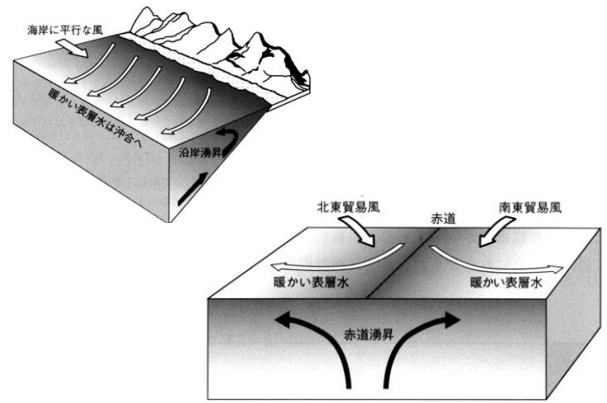


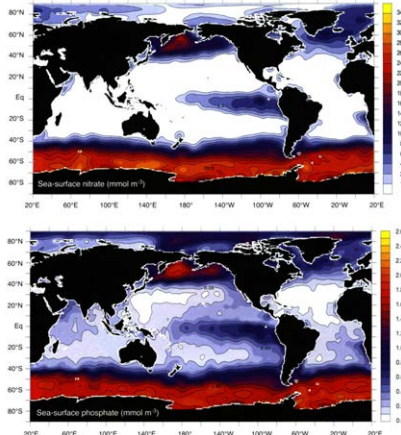
図 3.10 世界の海洋における湧昇域とサンゴ域の分布

③-1 湧昇域

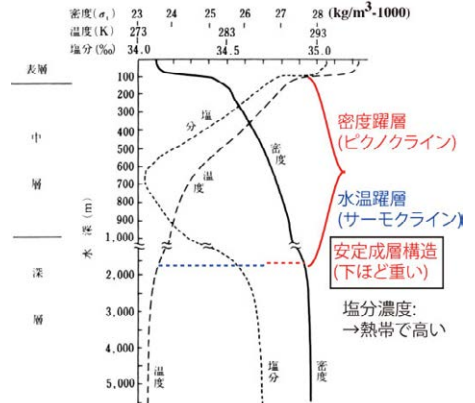


④ 海洋表層の栄養塩の濃度分布

2大重要栄養塩 (NO₃⁻, P)



① 垂直構造

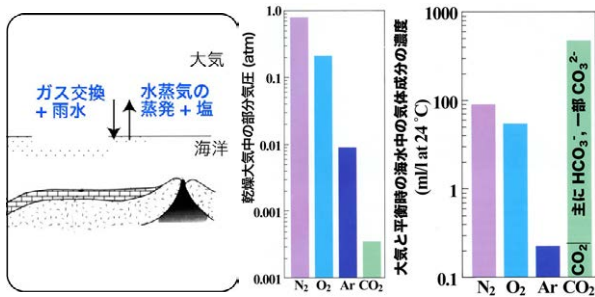


(5) 溶存ガス

-大気とのガス交換+雨水-

(1) 大気とのガス交換

気体が液体に溶け込む量：ヘンリーの法則に則る

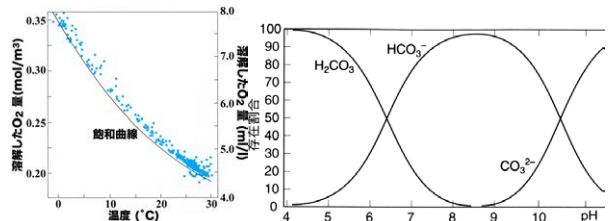


(5) 溶存ガス

-大気とのガス交換+雨水-

(1) 大気とのガス交換

気体が液体に溶け込む量：ヘンリーの法則に則る

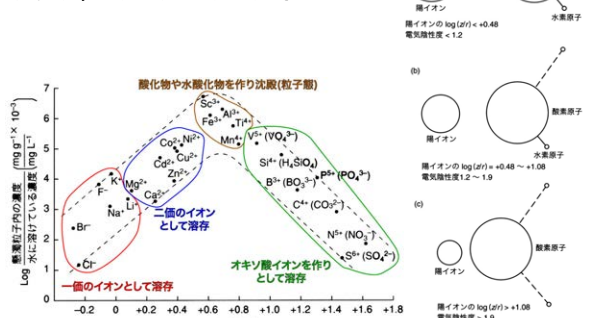


溶存元素

① イオン(+錯体), 無機錯体や有機錯体

② 粒子態

有機物, 水酸化物や酸化物等



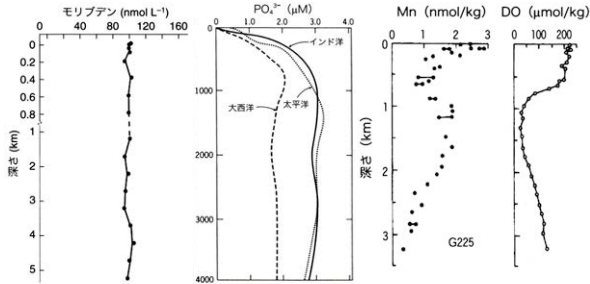
海水中の主なイオンの濃度と滞留時間

イオン	濃度 (μM)	滞留時間 (万年)
Cl ⁻	5.6x10 ⁵	9,000
Na ⁺	4.8x10 ⁵	6,000
Mg ²⁺	5.5x10 ⁴	1,000
SO ₄ ²⁻	2.9x10 ⁴	900
Ca ²⁺	1.1x10 ⁴	100
K ⁺	1.0x10 ⁴	1,000
C (HCO ₃ ⁻ , CO ₃ ²⁻ , CO ₂)	2-2.4x10 ³	8
Br ⁻	8.6x10 ³	10,000
B (B(OH) ₃ , B(OH) ₄ ⁻)	4.3x10 ²	1,000
Cu (CuCO ₃ , Cu ²⁺ , Cu(OH) ₂)	0.02-1x10 ⁻³	0.05
Si(OH) ₄	0-3x10 ⁻³	7
Fe (Fe(OH) ₃)	0.5-6x10 ⁻³	0.5
P (NaH ₂ PO ₄ , HPO ₄ ²⁻ , MgHPO ₄)	0-0.18 ⁻³	2
Mn (Mn ²⁺ , MnCl ⁺)	0.08-3x10 ⁻³	0.006
Al (Al(OH) ₃ , Al(OH) ₄ ⁻)	0-4x10 ⁻²	0.02
Ce (CeCO ₃ , Ce ³⁺ , CeCl ₃ ⁺)	3-8x10 ⁻⁶	0.01
Nd (NdCO ₃ , Nd ³⁺ , NdSO ₄ ⁺)	7-50x10 ⁻⁶	0.06
可溶性 (アルカリ土類)		
Sr ²⁺	91	5
Rb ⁺	1.4	300
可溶性 (オキソ酸)		
MoO ₄ ²⁻	1.07x10 ⁻¹	80
UO ₂ (CO ₃) ₃ ⁴⁻	1.4x10 ⁻²	40

平均滞留時間 (τ) ≡ (海水中の全量 mol) / (流入量 mol / y)
 タイムスケール：熱塩循環(数千年), 海流(数ヶ月)

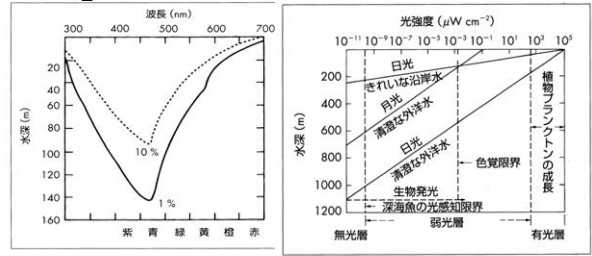
③ 海水組成の鉛直分布

- (a) 保存性成分型 ~鉛直方向で濃度が変化しない
- (b) リサイクル型 ~表層が低く、深層で高い
- (c) スキャベンジ型 ~表層が多く、深層で少ない。

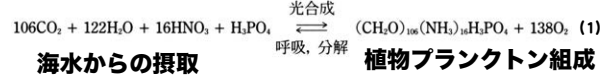


(a)主成分元素と (b)親生元素 大きな陰イオン (c)難溶性で平均滞留時間が短い

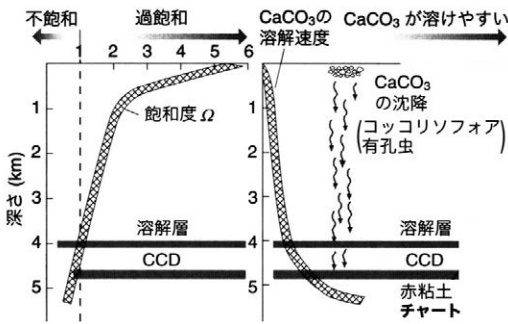
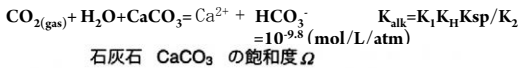
(9) 生物ポンプと物理 (無機, アルカリ) ポンプ ~CO₂を深海に運ぶプロセス~



(1) 植物プランクトンの元素組成比 C:N:P=106:16:1 (Redfield比)



⑤ CaCO₃の溶解と水深



⑥ 生物ポンプと無機 (物理, アルカリ) ポンプまとめ

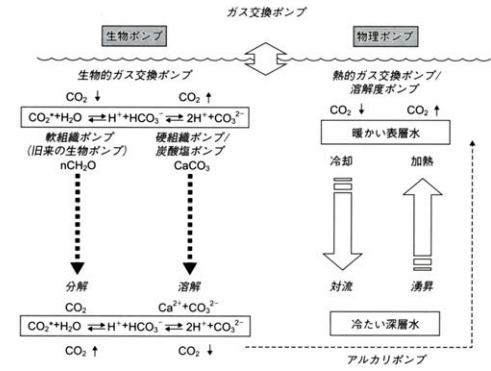
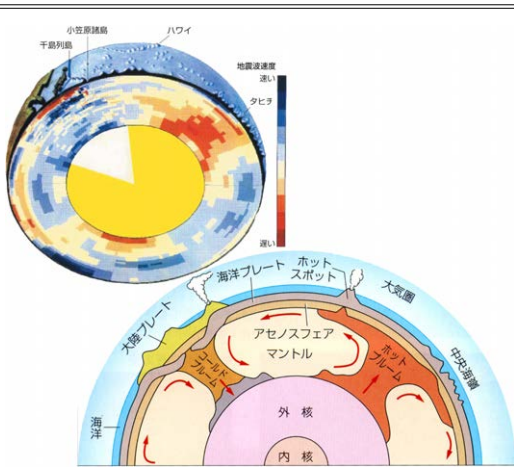
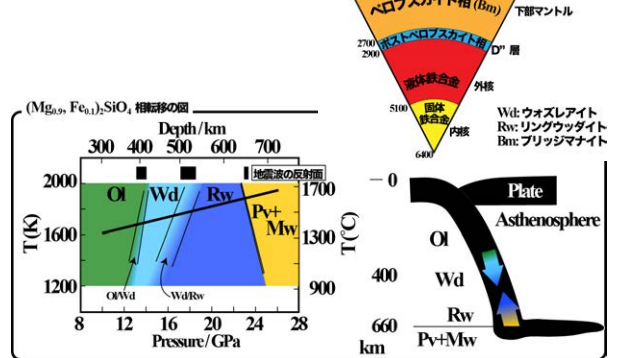


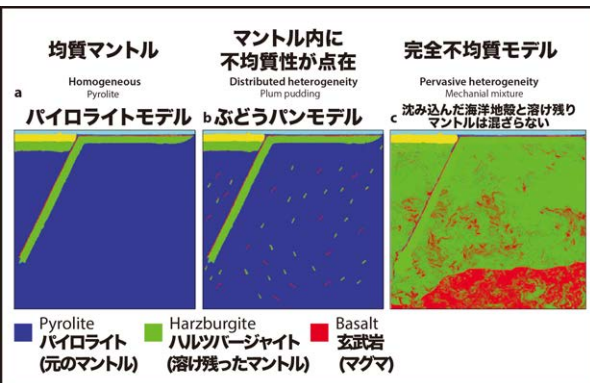
図 1.3.9 生物ポンプと物理ポンプのまとめ。



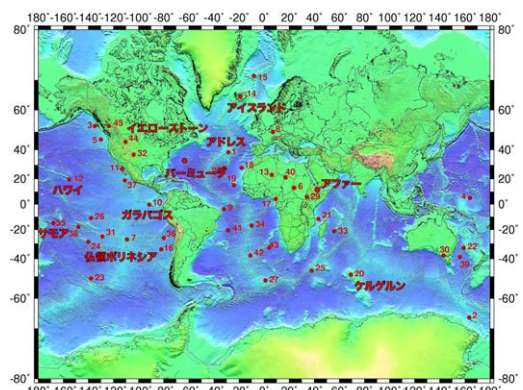
地球内部への物質循環 マントルダイナミクス (地球大物質循環)



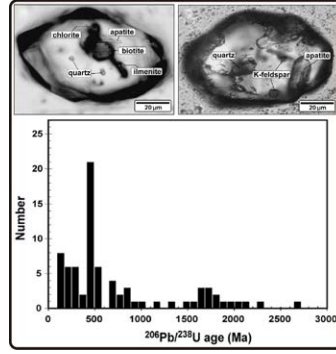
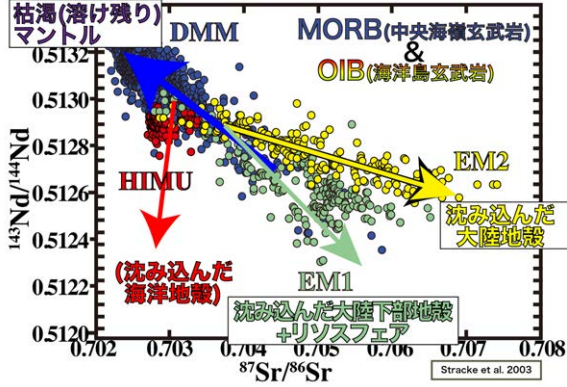
沈み込んだ物質はどうなるのか??



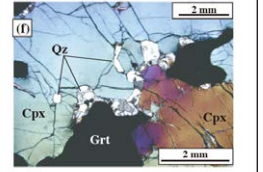
ホットスポット



中央海嶺玄武岩とホットスポットマグマの
同位体組成の多様性とその特徴



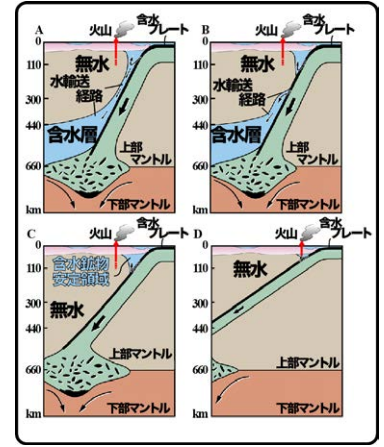
ホットスポットマグマ中に
取り込まれた
エクロジャイト捕獲岩中:
沈み込んだ物質の証拠
(ソロモン諸島: マライタ島)



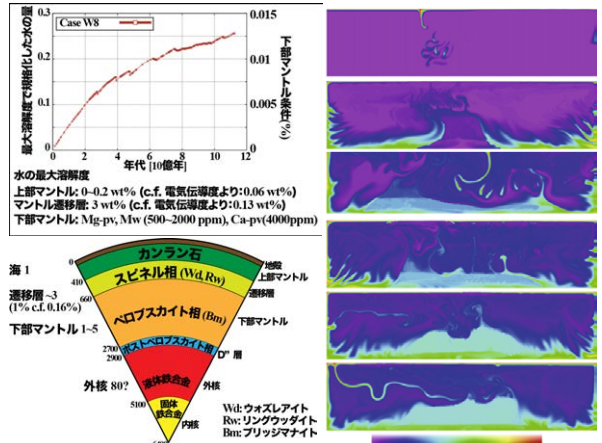
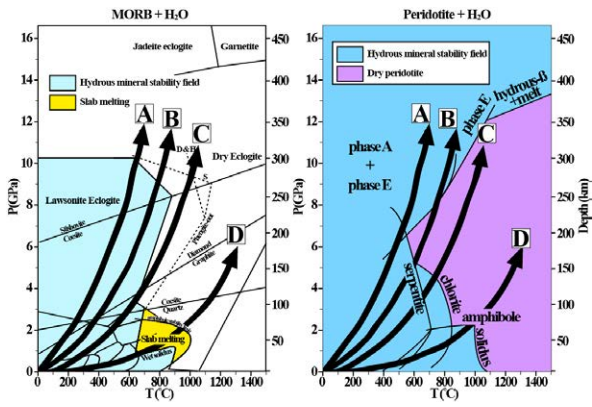
地球内部の化学的構造モデル



水の循環

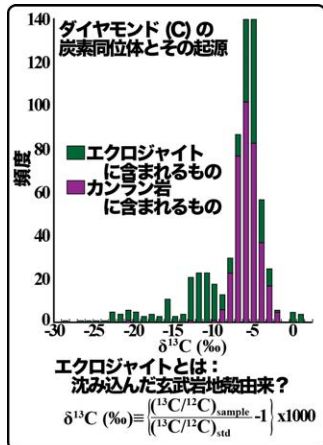


水の循環



ダイヤモンドの
炭素同位体

① エクロジャイト
(沈み込んだ海洋地
殻物質に伴う)型
ダイヤモンドは生
物起源(化石)?



コア・マンテル境界の物質学

